

# (*p*-CH<sub>3</sub>C<sub>6</sub>H<sub>4</sub>SO<sub>3</sub>)<sub>3</sub>Nd + DMF 体系中 电沉积钕-铁族合金膜

刘 鹏 童叶翔 杨绮琴 \* 杨燕生

(中山大学化学与化学工程学院 广州 510274)

本世纪 30 年代 Audreith 等人基于分离稀土元素的目的 ,在某些有机溶剂电解液中用汞阴极电沉积了个别的稀土汞齐<sup>[1]</sup>. 1954 年 Moeller 等在乙二胺中电沉积了 Y、La 和 Nd(稀土含量只有 50 % 左右)<sup>[2]</sup>. 随着电子和信息技术的发展 ,稀土合金功能薄膜得到广泛的应用. 因此 80 年代以后又开展了电沉积稀土合金薄膜的研究 ,在有机溶剂电解液中电沉积了 Sm-Co 、 Gd-Co 、 Dy-Fe 、 Nd-Fe<sup>[3-6]</sup>. 但是文献报道所用的电解质(醋酸稀土、硝酸稀土、氯化稀土)在有机溶剂中的溶解度低 ,难以脱水 ; 导致严重的浓度极化 ,沉积膜含有氧化物 ,严重影响沉积膜的功能特性. 由此可见 ,寻求溶解度高、易脱水的稀土盐 ,这是有机电解液电沉积稀土金属及其合金实用化的关键.

我们首次研制了系列的对甲苯磺酸稀土 ,并用于有机电解液电沉积稀土金属及其与过渡金属的合金薄膜. 制得的对甲苯磺酸稀土在 DMF 、 DMSO 等有机溶剂中的溶解度高 ,易脱水 ,不潮解.

本文简要报道 : 对 ( *p*-CH<sub>3</sub>C<sub>6</sub>H<sub>4</sub>SO<sub>3</sub>)<sub>3</sub>Nd + MCl<sub>2</sub> ( M = Fe , Co , Ni ) + DMF 体系进行电沉积钕-铁族金属合金膜的试验研究。

## 1 实验条件

DMF(AR) 经真空蒸馏和加入分子筛除水 . 支持电解质 ( *n*-Bu)<sub>4</sub>NBF<sub>4</sub> 按文献 [7] 制备 . 由 *p*-CH<sub>3</sub>C<sub>6</sub>H<sub>4</sub>SO<sub>3</sub> · H<sub>2</sub>O(AR) 和 Nd<sub>2</sub>O<sub>3</sub> (99.95 %) 反应制备对甲苯磺酸钕 , 产品经提纯和脱水后备用 . 对甲苯磺酸钕在 DMF 和 DMSO 的溶解度分别为 116 g/100 mL 和 123 g/100 mL (25 °C) . MCl<sub>2</sub> · xH<sub>2</sub>O 在 120 °C 下真空脱水 .

Pt (99.9 %) 和 Cu (99.95 %) 作研究电极 , 辅助电极为光谱纯石墨 ; 参比电极为 SCE , 通过盐桥连接到电解池 . 把氩气通进电解液中除氧 , 在氩气氛下进行电化学试验 .

电沉积物在 DMF 中浸洗除去电解质 , 然后用丙酮浸泡除去 DMF. 用电子能谱 (EDS) 及 X- 射线衍射 (XRD) 分析处理过的沉积物 .

本文 1998-11-21 收到

\* 通讯联系人

## 2 结果与讨论

图 1 是 Pt 电极在  $(p\text{-CH}_3\text{C}_6\text{H}_4\text{SO}_3)_3\text{Nd} + (n\text{-Bu})_4\text{NBF}_4 + \text{DMF}$  中的循环伏安曲线。阴极波起波电位为 -0.8 V, 在阴极峰电位附近恒电位电解得到一层紫红色沉积物, 溶于 0.1 mol · dm<sup>-3</sup> HCl 中有气体剧烈放出, EDS 分析表明沉积物为 Nd。因此, 阴极峰是由 Nd(+) 还原为金属 Nd 引起的, 而阳极峰是 Nd 的溶出峰。

Pt 电极在  $\text{FeCl}_2 + (n\text{-Bu})_4\text{NBF}_4 + \text{DMF}$  中循环伏安曲线如图 2 所示。图中出现一个阴极峰和一个阳极峰, 分别对应于 Fe(+) 还原为 Fe 和 Fe 的阳极溶出。阴极波的起波电位为 -0.35 V。

若溶液中同时存在 Nd 盐和 Fe 盐时, 其循环伏安曲线如图 3 所示。与图 1、图 2 相比较, 可知第一、二阴极还原波分别相应 Fe、Nd 的析出。反扫时出现两个有较大重叠的阳极峰, 这是 Nd 和 Fe 的阳极溶出引起的。

若电解质中同时存在 Nd 盐和 Co 盐或 Nd 盐和 Ni 盐, 其循环伏安曲线与图 3 类似, 也有两个阴极峰: 前者分别对应于 Co(+) 还原为 Co 和 Nd(+) 还原为 Nd, 后者分别对应于 Ni(+) 还原为 Ni 和 Nd(+) 还原为 Nd。

用 Cu 电极在上述溶液中测定的循环伏安曲线与 Pt 电极测得的曲线相似。用 Cu 电极在 -1.0 V 下恒电位电解得到 Nd(12 at %)-Fe、Nd(15 at %)-Co、Nd(21 at %)-Ni 合金膜。沉积膜均匀致密, 经 XRD 分析获知这些膜呈非晶态; 晶化后出现合金相。

阴极电位对沉积物中稀土的含量有明显的影响。电沉积 Nd-Ni 时, 电位从 -1.0 V 负移至 -1.2 V, 膜中 Nd 含量从 21 at % 提高到 61 at %。用 Cu 电极在 0.2 mol · dm<sup>-3</sup>  $(p\text{-CH}_3\text{C}_6\text{H}_4\text{SO}_3)_3\text{Nd} + 0.1 \text{ mol} \cdot \text{dm}^{-3} \text{FeCl}_2 + (n\text{-Bu})_4\text{NBF}_4 + \text{DMF}$  电解液中, 于不同阴极电位下恒电位电解 30 min, 所得 Nd-Fe 沉积膜的组成形貌见表 1。从表可见, 膜中 Nd 含量随阴极电位负移而增加, 至 -1.4 V 时达到 30 at %。经 EDS 截面分析, 沉积膜的厚度为 1.5 μm 左右。

提高溶液的 Nd(+) / M(+) 摩尔比, 能够使沉积膜中 Nd 含量增加, 因此 Nd-M 沉积膜的 Nd 含量还可以进一步提高。

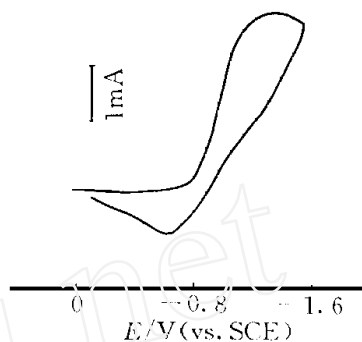


图 1 Pt 电极 ( $0.51\text{cm}^2$ ) 在  $(p\text{-CH}_3\text{C}_6\text{H}_4\text{SO}_3)_3\text{Nd}$  ( $0.04\text{ mol} \cdot \text{dm}^{-3}$ ) +  $(n\text{-Bu})_4\text{NBF}_4$  ( $0.1\text{ mol} \cdot \text{dm}^{-3}$ ) + DMF 中的 CV 曲线

Fig. 1 CV curve of Pt electrode ( $0.51\text{ cm}^2$ ) in  $(p\text{-CH}_3\text{C}_6\text{H}_4\text{SO}_3)_3\text{Nd}$  ( $0.04\text{ mol} \cdot \text{dm}^{-3}$ ) +  $(n\text{-Bu})_4\text{NBF}_4$  ( $0.1\text{ mol} \cdot \text{dm}^{-3}$ ) + DMF, 25  $^\circ\text{C}$ ,  $40\text{ mV s}^{-1}$

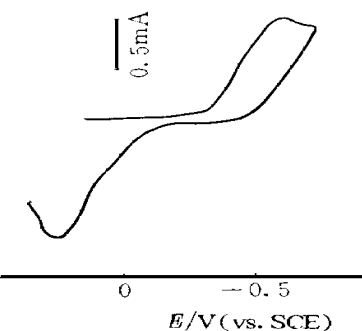


图 2 Pt 电极 ( $0.4\text{ cm}^2$ ) 在  $\text{FeCl}_2$  ( $0.03\text{ mol} \cdot \text{dm}^{-3}$ ) +  $(n\text{-Bu})_4\text{NBF}_4$  ( $0.1\text{ mol} \cdot \text{dm}^{-3}$ ) + DMF 中的 CV 曲线

Fig. 2 CV curve of Pt electrode ( $0.4\text{ cm}^2$ ) in  $\text{FeCl}_2 + (n\text{-Bu})_4\text{NBF}_4$  ( $0.1\text{ mol} \cdot \text{dm}^{-3}$ ) + DMF, 25  $^\circ\text{C}$ ,  $50\text{ mV s}^{-1}$

表 1 不同阴极电位下 Nd-Fe 沉积膜的组成与形貌

Tab. 1 The Composition and state of Nd-Fe deposited film at different cathode potentials

E/ V	Nd/ at %	Fe/ at %	形态	外 观
- 0.8	3.1	96.9	非晶态	灰色,光亮,致密
- 1.0	12.0	88.0	非晶态	灰色,光亮,致密
- 1.2	25.3	74.7	非晶态	黑色,致密
- 1.4	30.1	69.9	非晶态	黑色,较疏松

对电沉积的 Nd-Co 膜进行 DSC 和 TG 分析。加热到 498 ℃,沉积物失重不到 1 %,这样小的失重率可能是样品粘附少量的溶剂挥发造成的,而不可能是样品的分解。测得非晶态 Nd-Co 膜的晶化温度为 468.3 ℃,相变热为 4.8 J · mol<sup>-1</sup>。通过声频内耗仪对 Nd-Co 膜进行磁致弹性的研究,表明 Nd-Co 膜具有良好的软磁性。

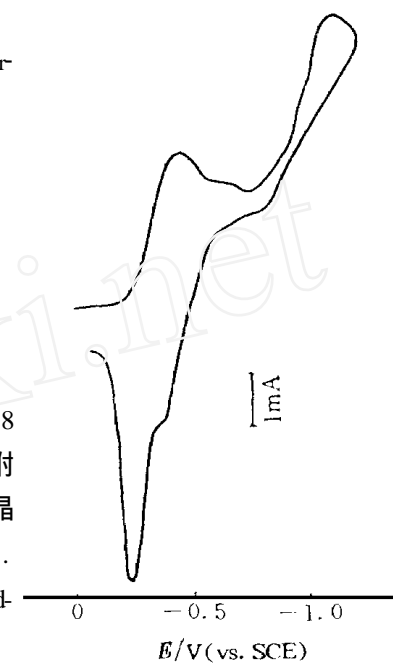


图 3 Pt 电极在  $\text{FeCl}_2$  (0.06 mol · dm<sup>-3</sup>) + (*p*-CH<sub>3</sub>C<sub>6</sub>H<sub>4</sub>SO<sub>3</sub>)<sub>3</sub>Nd (0.12 mol · dm<sup>-3</sup>) + (*n*-Bu)<sub>4</sub>NBF<sub>4</sub> (0.06 mol · dm<sup>-3</sup>) + DMF 中的 CV 曲线

Fig. 3 CV curve of Pt electrode in  $\text{FeCl}_2$  (0.06 mol · dm<sup>-3</sup>) + (*p*-CH<sub>3</sub>C<sub>6</sub>H<sub>4</sub>SO<sub>3</sub>)<sub>3</sub>Nd (0.12 mol · dm<sup>-3</sup>) + (*n*-Bu)<sub>4</sub>NBF<sub>4</sub> (0.06 mol · dm<sup>-3</sup>) + DMF, 50 mV · s<sup>-1</sup>, 25

## Electrodeposition of Neodymium-Iron Group Alloy Films in (*p*-CH<sub>3</sub>C<sub>6</sub>H<sub>4</sub>SO<sub>3</sub>)<sub>3</sub>Nd + DMF System

Liu Peng Tong Yexiang Yang Qiqin \* Yang Yansheng

(School of Chem. and Chem. Engin., Zhongshan University, Guangzhou 510275)

**Abstract** Neodymium *p*-toluenesulfonate was prepared and applied to the electrodeposition of neodymium-iron group alloy films. This salt has high solubility in DMF and can be dehydrated easily. Cyclic voltammograms of Pt electrode in (*p*-CH<sub>3</sub>C<sub>6</sub>H<sub>4</sub>SO<sub>3</sub>)<sub>3</sub>Nd + MCl<sub>2</sub> (M = Fe,

Co ,Ni) + DMF indicated that the neodymium-iron group alloys can be electrodeposited from this medium , the Nd-Fe ,Nd-Co and Nd-Ni films were obtained by electrolysis at constant potential. The Nd-Fe ,Nd-Co and Nd-Ni films are amorphous in which the rare earth contents are in the range of 15 at % ~ 60 at % as analyzed by XRD and EDS. The Nd content in the deposited film increases with the shift of cathode potential to the negative direction. The deposited Nd-Co film has good soft magnetic properties and its crystallization temperature was determined as 468.3 .

**Key words** Neodymium *p*-toluenesulfonate ,Alloy films of neodymium-iron group , Electrodeposition ,Organic electrolytes

## References

- 1 Audrieth L ,Jukkola E ,Meints R ,et al. Preparation of amalgams of lanthanum and neodymium. J. American Chem Soc ,1931 ,53:1805
- 2 Mellor T ,Zimmerman P. Some observations on the electrolyses of solutions of rare-earth metal salts in basic solvents. Science ,1954 ,120:539
- 3 Sato Y ,Ishida H ,Kobayakawa K ,et al. Electrodeposition of Sm-Co from formamide. Chemistry Letters ,1990 : 1471
- 4 Usuzaka N ,Yamaguchi H ,Watanabe T ,Preparation and Magnetic properties of Co-Gd amorphous alloy films by the electroplating ,Mater Sci Eng ,1988 ,99:105
- 5 Matsuda Y Fujii T ,Yoshimoto N ,et al. Dy-Fe electrodeposition in organic electrolyte. J Surf Finish Soc Japan , 1991 ,42:127
- 6 Yoshimoto N ,Shinoura O ,Miyauchi H ,et al. Nd-Fe electrodeposition in organic electrolyte. Denki Kagaku , 1994 ,62(10) :982
- 7 House H et al. Preparation of the tetrafluoroborates J. Org. Chem ,1971 ,36:2371